

Składowe spójności prostokątnych obrazów zero-jedynkowych

Łukasz Janiec

Politechnika Wrocławska
Wydział Elektroniki
Katedra Cybernetyki i Robotyki

17 grudnia 2020



Politechnika Wrocławska

- 1 Źródło pracy
- 2 Model pojedynczej składowej spójności
- 3 Implementacja - podstawowe działania
- 4 Złożoność obliczeniowa algorytmu i funkcja Ackermanna $A(m,n)$
- 5 Podsumowanie i informacje dodatkowe
- 6 Bibliografia

Temat

- **Składowe spójności prostokątnych obrazów zero-jedynkowych**

Wsparcie

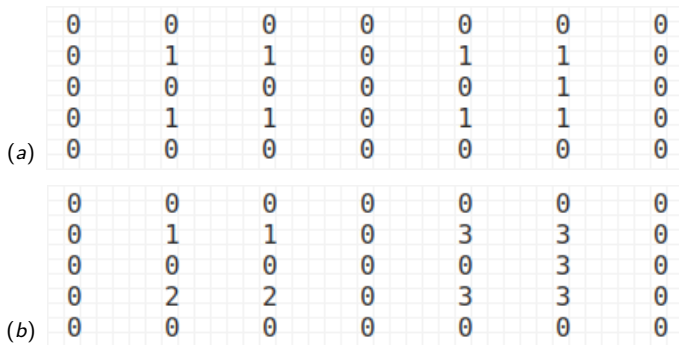
- promotor: prof. dr hab. Krzysztof Bogdan (Politechnika Wrocławska)
- konsultant: dr Tomasz Hrycak (Austriacka Akademia Nauk)

Rodzaj pracy licencjackiej

- studialno-analityczna
- dziedzina matematyki: algorytmika, teoria grafów

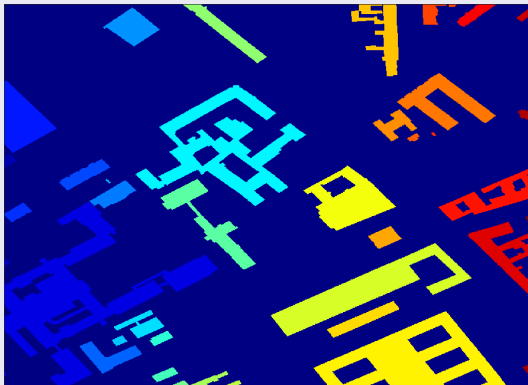
Cel pracy

- Implementacja wydajnego algorytmu do wyznaczania i zliczania składowych spójności obrazów binarnych. Użyte środowisko - Matlab.
- Opis działania i analiza ww. algorytmu.



Rys.: (a) mapa binarna na wejściu, (b) składowe spójności na wyjściu

Duża mapa - efekt końcowy

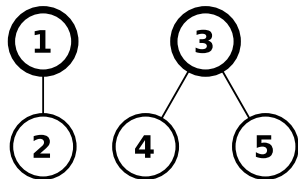


Przykład ze zbioru `street-map/Berlin_0_1024.map`.¹
Wymiary mapy to 1024x1024 piksele. Czas przetwarzania na standardowym komputerze - poniżej 4s.

¹Sturtevant, N., *Benchmarks for Grid-Based Pathfinding*

Spójny podzbiór obrazu jako składowa spójności

Założmy, że wyróżnione elementy obrazu oznaczono przez $1, 2, \dots, N$.
Spójny podzbiór obrazu (składowa spójności) modelujemy jako drzewo z wyróżnionym korzeniem, gdzie potomkowie przechowują numer rodzica, zaś w korzeniu umieszczamy wielkość drzewa pomnożoną przez (-1) .



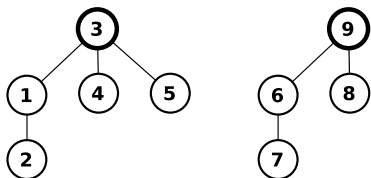
Składowe spójności jako lista adresowa

x	1	2	3	4	5
$V[x]$	-2	1	-3	3	3

Taką strukturę danych nazywamy **strukturą zbiorów rozłącznych** (*ang.* union-find/disjoint-set structure).

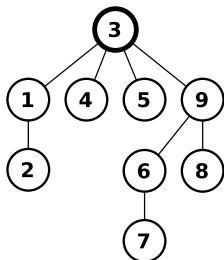
Elementy obrazu w składowej powiązane są relacją sąsiedztwa 4-elementowego.

Podstawowe działanie - łączenie drzew



Przed połączeniem wierzchołków (3) i (9)

x	1	2	3	4	5	6	7	8	9
V[x]	3	1	-5	3	3	9	6	9	-4

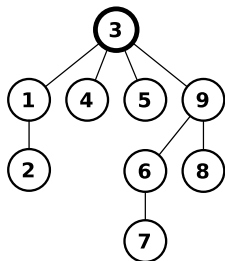


Po połączeniu (3) i (9)

x	1	2	3	4	5	6	7	8	9
V[x]	3	1	-9	3	3	9	6	9	3

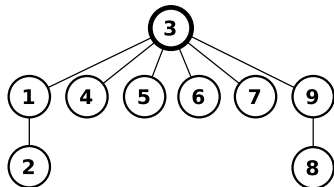
Przy łączeniu znane są tylko dwa łączone wierzchołki, dla których wyliczamy korzenie drzew, do których należą. Każde połączone drzewo jest na końcu kompresowane.

Podstawowe działanie - kompresja drzewa



Przed połączeniem wierzchołka (7)
i korzenia (3)

x	1	2	3	4	5	6	7	8	9
$V[x]$	3	1	-9	3	3	9	6	9	3



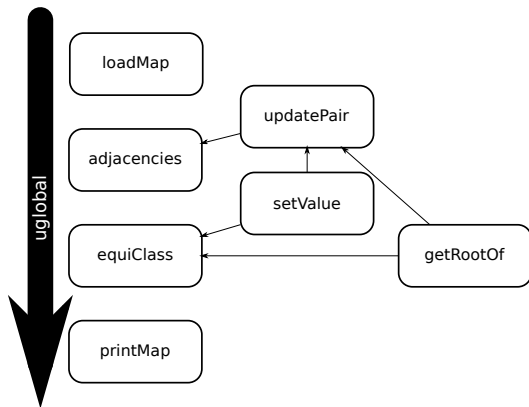
Nowo powstałe skompresowane drzewo

x	1	2	3	4	5	6	7	8	9
$V[x]$	3	1	-9	3	3	9	6	9	3

Kompresja odstępuje od konwencji abstrakcyjnych typów danych i rozdziału funkcji modyfikujących od funkcji dających dostęp do informacji o stanie obiektu, pozwalając na znaczny spadek złożoności obliczeniowej.

- 1 Wczytaj mapę zero-jedynkową.
- 2 Zainicjuj dla każdej jedynek w obrazie osobną składową spójności z jednym wierzchołkiem (korzeniem).
- 3 Przetwarzaj piksele obrazu odpowiednio wzdłuż kolumn i wzdłuż wierszy. Dla każdej wykrytej relacji sąsiedztwa między jedynekami wywołaj połączenie drzew (jeśli drzewa są rozłączne) albo kompresję drzewa (gdy piksele były w tym samym drzewie).
- 4 Po przetworzeniu obrazu, każde wynikowe drzewo zawiera wszystkie jedynek powiązane ze sobą relacją komunikacji. Przypisz składowym rosnące indeksy od 1.
- 5 Zwróć maksymalny przypisany indeks jako liczbę składowych spójności i wyświetl przetworzoną mapę.

Funkcje podstawowe



Łączenie składowych spójności wykonuje `updatePair`, która używa `setValue` do kompresji drzewa i `getRootOf` do sprawdzania korzeni. Mapa zero-jedynkowa obecna w `uglobal` po wywołaniu `adjacencies` zmienia się na macierz relacji przylegania. Na końcu `equiClass` zlicza składowe spójności i oznacza każdą z nich jej indeksem.

Funkcja Ackermana $A(m, n)$

...to funkcja dwóch zmiennych, zdefiniowana rekurencyjnie

$$\begin{aligned} A(0, n) &= n + 1, & A(m + 1, 0) &= A(m, 1), \\ A(m + 1, n + 1) &= A(m, A(m + 1, n)), & n, m &\in \mathbb{Z}_+. \end{aligned} \quad (1)$$

Funkcja Ackermana rośnie niewyobrażalnie szybko¹ - pierwsze wartości są pokazane w tabeli poniżej.

$A(m,n)$	n=0	n=1	n=2	n=3	n=4	n=5
m=0	1	2	3	4	5	6
m=1	2	3	4	5	6	7
m=2	3	5	7	9	11	13
m=3	5	13	29	61	125	253
m=4	13	65533	$2^{65536} - 3$	$2^{2^{65536}} - 3$	$A(3, 2^{2^{65536}} - 3)$	$A(3, A(4, 4))$
m=5	65533	$A(4, 65533)$	$A(4, A(4, 65533))$	$A(4, A(5, 2))$	$A(4, A(5, 3))$	$A(4, A(5, 4))$

Rys.: Weiss Stewart, *CSci 335 Software Design and Analysis III*, Chapter 8

¹Wikipedia - Wartość $A(4, 4)$ wynosi $2^{2^{2^{2^{16}}}} - 3$.

Odwrotna funkcja Ackermana $\alpha(n)$

...jest zdefiniowana jako

$$\alpha(n) = \min\{m \mid A(m, m) \geq n\}. \quad (2)$$

Odwrotna funkcja Ackermana rośnie bardzo wolno - dla praktycznych zastosowań, funkcja $\alpha(\cdot)$ nie przekracza 5. Pozwala to na traktowanie jej jako w przybliżeniu stałej.

Złożoność obliczeniowa algorytmu

Zdefiniujmy $S = W \cdot H$, gdzie W - szerokość mapy, H - wysokość mapy, tj. S - ilość wszystkich pikseli przetwarzanej mapy.

Twierdzenie 1






Liczba operacji przy wyznaczaniu składowych spójności w obrazach zero-jedynkowych z uwzględnieniem wielkości drzew przy łączeniu i ich kompresji wynosi $\mathcal{O}(S\alpha(S))$, gdzie $\alpha(\cdot)$ jest odwrotną funkcją Ackermanna.

Dowód Twierdzenia 1

Oparty został na pracy Kozen, Dexter C. *The Design and Analysis of Algorithms*, rozdział "Analysis of Union-Find" (Springer NY, 1992).

- Wyznaczanie składowych spójności obrazów zero-jedynkowych z użyciem drzewiastej struktury zbiorów spójności ma praktycznie liniową czasową złożoność obliczeniową.
- Przykłady użycia - grafika komputerowa, segmentacja obrazów medycznych (MRI, TK), szukanie skupisk obiektów astronomicznych.

- Przy zmianie relacji sąsiedztwa, podejście tego algorytmu można zaadaptować do wyszukiwania składowych silnie spójnych w grafach skierowanych i sprawdzania rozwiązywalności labiryntów.
- Przy bardziej złożonych relacjach wiążących elementy składowych, złożoność obliczeniowa może się zwiększyć!
- Przy prawidłowej implementacji w Matlabie ważna staje się kolumnowa reprezentacja macierzy w pamięci i kolejność przetwarzania jej wymiarów.

-  Kozen, Dexter C., *The Design and Analysis of Algorithms*, "Analysis of Union-Find". Springer NY, 1992.
-  Weiss Stewart, *CSci 335 Software Design and Analysis III*, "Chapter 8 Disjoint Sets and the Union/Find Problem". Hunter College, 2019.
-  Sundblad, Yngve, *The Ackermann function. a theoretical, computational, and formula manipulative study*, BIT Numerical Mathematics, 1971.
-  Tarjan Robert E., van Leeuwen Jan, *Worst-case Analysis of Set Union Algorithms*, J. ACM 31, 1984.
-  mathworks.com/company/newsletters/articles/programming-patterns-maximizing-code-performance-by-optimizing-memory-access.html

Dziękuję za uwagę!

